

Practical Decorrelation

La théorie de la décorrélation en pratique

Matthieu Finiasz



Mise au point par S. Vaudenay [Journal of Cryptology 03]

- ▶ Permet de **prouver** des résultats de sécurité sur des chiffrements par blocs.
- ▶ Utilisé pour prouver la sécurité de DFC contre :
 - ▷ la cryptanalyse linéaire,
 - ▷ la cryptanalyse différentielle.

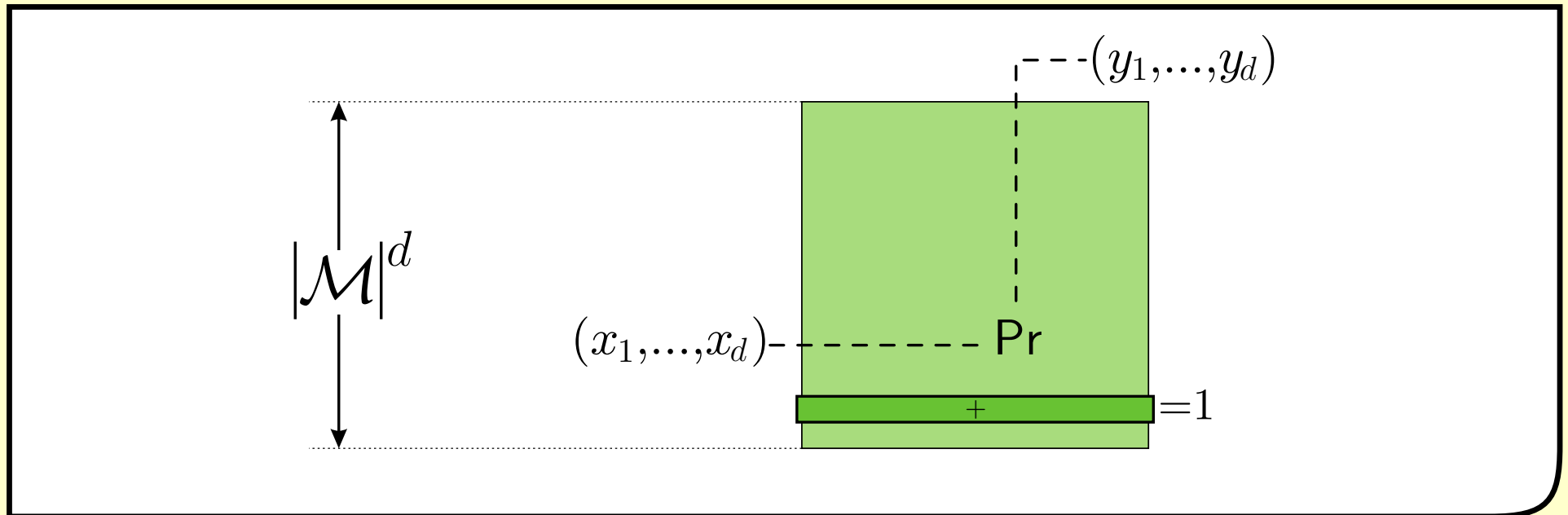
Modèle d'attaque :

L'attaquant doit distinguer un chiffrement par bloc C (utilisant une clef inconnue) du chiffrement parfait C^* en n'ayant accès qu'à d couples de clair/chiffré.

Soit $C : \mathcal{M} \rightarrow \mathcal{M}$, une permutation aléatoire.

► $[C]^d$ est la matrice de distribution d'ordre d définie par :

$$[C]^d_{(x_1, \dots, x_d), (y_1, \dots, y_d)} = \Pr_{c \in C} (c(x_1) = y_1, \dots, c(x_d) = y_d).$$



Soit $C : \mathcal{M} \rightarrow \mathcal{M}$, une permutation aléatoire.

► $[C]^d$ est la matrice de distribution d'ordre d définie par :

$$[C]_{(x_1, \dots, x_d), (y_1, \dots, y_d)}^d = \Pr_{c \in C} (c(x_1) = y_1, \dots, c(x_d) = y_d).$$

► Deux permutations aléatoires sont faciles à distinguer si leurs matrices sont très différentes.

→ C est sûr si $[C]^d$ est très proche de $[C^*]^d$.

► Deux normes existent pour mesurer cette distance.

► Triple norme infinie : $\|M\|_\infty = \max_x \sum_y |M_{x,y}|$.

L'avantage du meilleur **distingueur non-adaptatif** contre C est donné par :

$$\text{Adv}^d = \frac{1}{2} \| [C]^d - [C^*]^d \|_\infty.$$

► Norme "a" : $\|M\|_a = \max_{x_1} \sum_{y_1} \dots \max_{x_d} \sum_{y_d} |M_{x,y}|$.

L'avantage du meilleur **distingueur adaptatif** contre C est donné par :

$$\text{Adv}_a^d = \frac{1}{2} \| [C]^d - [C^*]^d \|_a.$$

 Attaques limitées à d clairs choisis.

Extension aux attaques itérées

- ▶ Attaque itérées d'ordre d et complexité n :
 - ▷ l'adversaire fait n requêtes indépendantes de d clairs aléatoires,
 - ▷ pour chaque requête il reçoit les chiffrés et conserve un bit d'information,
 - ▷ à la fin il doit choisir s'il s'agit de C ou de C^* .
- ▶ Cryptanalyse linéaire \rightarrow attaque itérée d'ordre 1.
- ▶ Cryptanalyse différentielle \rightarrow attaque itérée d'ordre 2.

Extension aux attaques itérées

▶ Si $\| [C]^{2d} - [C^*]^{2d} \|_{\infty} \leq \varepsilon$ alors :

$$\text{Adv}_{\text{iter}}^d \leq \sqrt[3]{n^2 \left(\frac{d^2}{|\mathcal{M}|} + \varepsilon \right)}$$

▷ il faut $n \simeq \frac{1}{\sqrt{\varepsilon}}$ pour bien distinguer.

▶ Pour les cryptanalyses **linéaires** et **différentielles** il existe un résultat est un peu plus fort :

▷ il faut $n \simeq \frac{1}{\| [C]^2 - [C^*]^2 \|_{\infty}}$ pour distinguer.

- ▶ La théorie de la décorrélation permet de prouver la résistance à de grandes classes d'attaques :
 - ▷ Une grande partie des attaques utilisées contre les chiffrements par blocs sont des attaques itérées.

- ▶ Problèmes :
 - ▷ Comment calculer les matrices de distribution ?
 - ▷ Comment gérer des matrices de taille $2^{256} \times 2^{256}$?

La décorrélation en pratique

Combinaison de permutations

Une propriété essentielle

- ▶ A et B sont deux permutation aléatoires indépendantes :

$$[B \circ A]^d = [A]^d \times [B]^d.$$

- ▶ Si C est composé de 10 tours T utilisant des clefs indépendantes :

$$[C]^d = ([T]^d)^{10}.$$

- ▷ Valable aussi pour des transformations constantes.

On peut réussir à calculer $[C]^d$ sans avoir à calculer C sur toutes les entrées possibles.

► Sur l'ensemble $\{1, 2, 3\}$, $[C^*]^2$ vaut :

	(1,1)	(1,2)	(1,3)	(2,1)	(2,2)	(2,3)	(3,1)	(3,2)	(3,3)
(1,1)	$\frac{1}{3}$	0	0	0	$\frac{1}{3}$	0	0	0	$\frac{1}{3}$
(1,2)	0	$\frac{1}{6}$	$\frac{1}{6}$	$\frac{1}{6}$	0	$\frac{1}{6}$	$\frac{1}{6}$	$\frac{1}{6}$	0
(1,3)	0	$\frac{1}{6}$	$\frac{1}{6}$	$\frac{1}{6}$	0	$\frac{1}{6}$	$\frac{1}{6}$	$\frac{1}{6}$	0
(2,1)	0	$\frac{1}{6}$	$\frac{1}{6}$	$\frac{1}{6}$	0	$\frac{1}{6}$	$\frac{1}{6}$	$\frac{1}{6}$	0
(2,2)	$\frac{1}{3}$	0	0	0	$\frac{1}{3}$	0	0	0	$\frac{1}{3}$
(2,3)	0	$\frac{1}{6}$	$\frac{1}{6}$	$\frac{1}{6}$	0	$\frac{1}{6}$	$\frac{1}{6}$	$\frac{1}{6}$	0
(3,1)	0	$\frac{1}{6}$	$\frac{1}{6}$	$\frac{1}{6}$	0	$\frac{1}{6}$	$\frac{1}{6}$	$\frac{1}{6}$	0
(3,2)	0	$\frac{1}{6}$	$\frac{1}{6}$	$\frac{1}{6}$	0	$\frac{1}{6}$	$\frac{1}{6}$	$\frac{1}{6}$	0
(3,3)	$\frac{1}{3}$	0	0	0	$\frac{1}{3}$	0	0	0	$\frac{1}{3}$

- ▷ les 0 sont là pour toute permutation,
- ▷ la somme par colonnes vaut 1 (pour toute permutation),
- ▷ une ligne/colonne ne contient qu'une valeur.

→ $[C^*]^d \times [C]^d = [C]^d \times [C^*]^d = [C^*]^d.$

- ▶ Un **module de décorrélation** est une permutation aléatoire C telle qu'il existe d pour lequel $[C]^d = [C^*]^d$.
 - ▷ Aussi valable pour tout $i \leq d$.
 - ▷ Pour tout A et B : $[B \circ C \circ A]^d = [C^*]^d$. [COCONUT98]
- ▶ Exemples :
 - ▷ ordre 1 : $X \mapsto A \oplus X$, où A est une variable aléatoire équadistribuée.
 - ▷ ordre 2 : $X \mapsto AX + B$, où $A \neq 0$ et B sont équadistribuées.
 - ▷ au-delà : rien de très simple ?

Les modules de décorrélation

Avantages / inconvénients

- ◇ simples à comprendre
- ◇ parfaits jusqu'à l'ordre d
- ◇ sur le bloc complet \rightarrow assez lents (sauf à l'ordre 1)
- ◇ a priori, très mauvais au-delà de l'ordre d
 - ▷ attaque "boomerang" sur COCONUT.
- ▶ Utiles pour des preuves, nécessitent une intégration dans une construction déjà sûre.

Utiliser des symétries :
Dial C for Cipher

Description de C

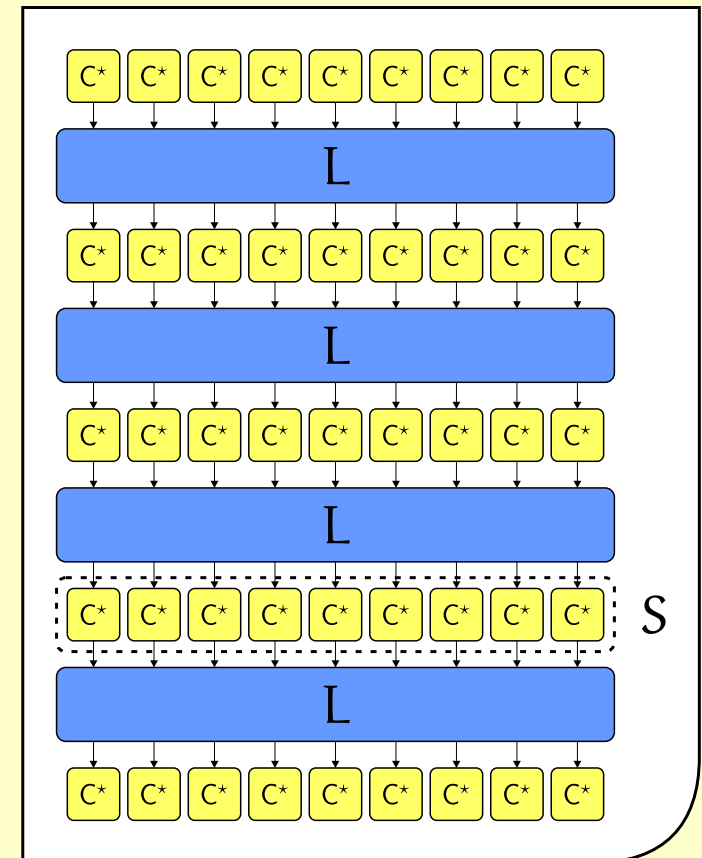
- ▶ On reprend la structure de l'AES, et on remplace le XOR de clef et les boites S par 16 permutations **parfaitement aléatoires et indépendantes**

- ▷ 16 petits C^* sur 8 bits.

- ▶ S est parfaite à l'ordre 1.
- ▶ On s'intéresse à la décorrélation d'ordre 2 :

- ▷ à quoi $[S]^2$ ressemble-t-elle ?

- ▷ comment $[S]^2$ et $[L]^2$ se combinent-elle ?



Propriétés de $[S]^2$

- ▶ On note $\text{SUPP}(x, x')$ le **support** de $x \oplus x'$: l'élément de $\{0, 1\}^{16}$ nul sur les coefficients où $x_i = x'_i$.
- ▶ On note $w(x, x')$ le **poids de Hamming** de $\text{SUPP}(x, x')$.
- ▶ On note $q = 2^8$, pour simplifier.

$$[S]_{(x,x'),(y,y')}^2 = \frac{\mathbf{1}_{\text{SUPP}(x,x')=\text{SUPP}(y,y')}}{q^{16} \cdot (q - 1)^{w(x,x')}}.$$

- ▶ On note $\text{SUPP}(x, x')$ le **support** de $x \oplus x'$: l'élément de $\{0, 1\}^{16}$ nul sur les coefficients où $x_i = x'_i$.
- ▶ On note $w(x, x')$ le **poids de Hamming** de $\text{SUPP}(x, x')$.
- ▶ On note $q = 2^8$, pour simplifier.

$$[S]_{(x,x'),(y,y')}^2 = \frac{\mathbf{1}_{\text{SUPP}(x,x')=\text{SUPP}(y,y')}}{q^{16} \cdot (q-1)^{w(x,x')}}.$$

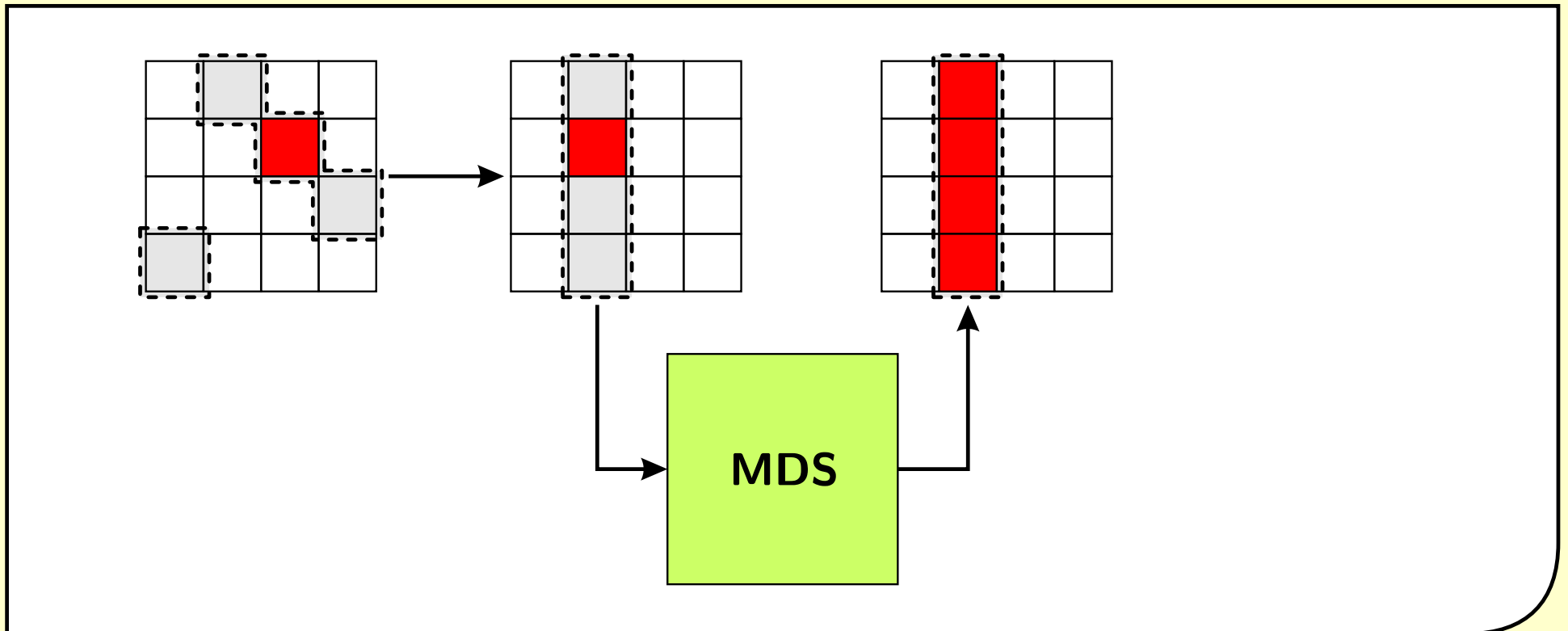
- ▶ On définit deux **matrices de conversion** Paire \leftrightarrow Support :

$$PS_{(x,x'),\gamma} = \mathbf{1}_{\gamma=\text{SUPP}(x,x')},$$

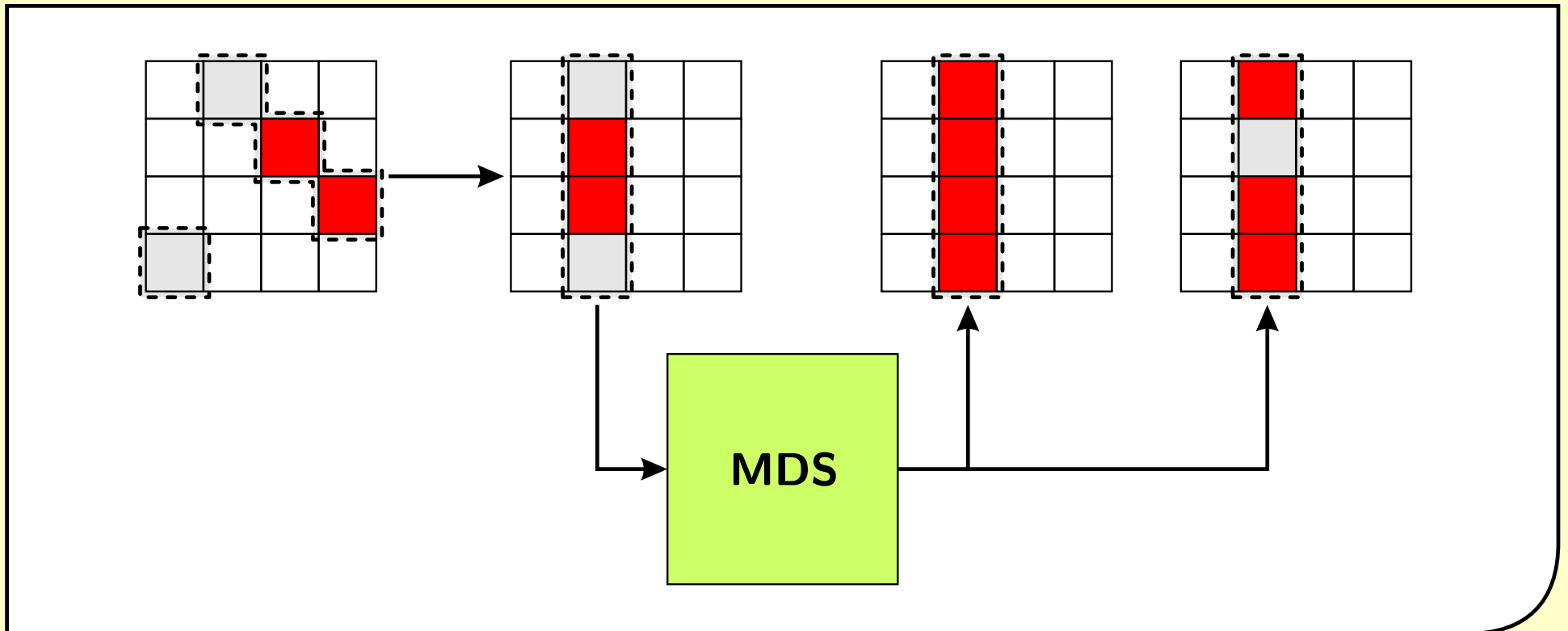
$$SP_{\gamma',(y,y')} = \mathbf{1}_{\gamma'=\text{SUPP}(y,y')} q^{-16} \cdot (q-1)^{-w(\gamma')}.$$

$$\rightarrow [S]^2 = PS \times SP$$

- ▶ $[L]^2$ est une permutation :
 - ▷ impossible à simplifier a priori,
 - ▷ entourée par $[S]^2$ de chaque côté
 - on regarde comment simplifier $SP \times [L]^2 \times PS$.



- ▶ $[L]^2$ est une permutation :
 - ▷ impossible à simplifier a priori,
 - ▷ entourée par $[S]^2$ de chaque côté
 - on regarde comment simplifier $SP \times [L]^2 \times PS$.



- ▶ Ne dépend pas du support complet, juste des poids sur les diagonales d'entrée et sur les colonnes de sortie.
- ▷ On introduit deux nouvelles matrices Support \leftrightarrow Poids

$$SW_{\gamma, (w_1, w_2, w_3, w_4)} = \mathbf{1}_{\text{weights}_{\text{diag}}(\gamma) = (w_1, w_2, w_3, w_4)}$$

$$WS_{(w'_1, w'_2, w'_3, w'_4), \gamma'} = \frac{\mathbf{1}_{\text{weights}_{\text{col}}(\gamma') = (w'_1, w'_2, w'_3, w'_4)}}{\binom{4}{w'_1} \binom{4}{w'_2} \binom{4}{w'_3} \binom{4}{w'_4}}$$

$$\rightarrow SP \times [L]^2 \times PS = SW \times \bar{L} \times WS$$

- ▶ \bar{L} est une matrice 625×625 facile à calculer.

Calcul exact de $\| [C]^2 - [C^*]^2 \|_\infty$

- ▶ On se ramène entièrement à un calcul de matrices 625×625 :

$$\begin{aligned} [C]^2 &= PS \times SW \times \bar{L} \times WS \times SW \times \dots \times \bar{L} \times WS \times SP \\ &= PW \times (\bar{L} \times \bar{W})^{r-2} \times \bar{L} \times WP \end{aligned}$$

- ▶ On peut calculer **exactement** l'avantage du meilleur distingueur d'ordre 2 (adaptatif ou non) :

r	2	3	4	5	6	7	8	9	10	11	12
Adv	1	$2^{-4.0}$	$2^{-23.4}$	$2^{-45.8}$	$2^{-71.0}$	$2^{-126.3}$	$2^{-141.3}$	$2^{-163.1}$	$2^{-185.5}$	$2^{-210.8}$	$2^{-238.9}$

- ▶ Résiste aux attaques itérées d'ordre 1.

- ◇ 4 tours : cryptanalyse linéaire et différentielle
 - ◇ 5 tours : différentielles impossibles
 - ◇ 10 tours : toutes les attaques futures ?
- ⚠ If faut des boites aléatoires et indépendantes.

- ◇ 4 tours : cryptanalyse linéaire et différentielle
- ◇ 5 tours : différentielles impossibles
- ◇ 10 tours : toutes les attaques futures ?

⚠ Il faut des boîtes aléatoires et indépendantes.

- ▶ Sur 8 bits il faut $\log_2(256!) \approx 1684$ bits de clef par boîte
 - ▷ générer 269440 bits à partir d'une clef de 128,
 - ▷ utiliser un générateur prouvé sûr (Blum-Blum-Shub...)
- attaque sur $C_{\text{key}} \Rightarrow$ attaque sur C ou sur BBS.

- ▶ La structure de $[S]^3$ n'est pas simple à comprendre :
 - ▷ indexer par un triplet de supports
 - certains n'existent pas
 - ▷ une autre idée ?
- ▶ Sur la partie linéaire $[L]^3$:
 - ▷ sans une simplification de $[S]^3$ on ne peut rien faire...
- ▶ J'ai pas trop d'autres idées :
 - ▷ trouver un L qui fonctionne bien à l'ordre 3 ?
 - ▷ faire le calcul avec les triplets de supports possibles ?

Aux ordres supérieurs :

KFC - the Krazy

Feistel Cipher

La magie des fonctions aléatoires

- ▶ On note F^* la fonction parfaitement aléatoire
 - ▷ si $x \neq x'$ alors $F^*(x)$ et $F^*(x')$ sont indépendants.
- ▶ On note F la couche de 16 boîtes F^* sur 8 bits
 - ▷ si $w(\text{SUPP}(x, x')) = 16$ ($x \neq x'$ sur chaque boîte) alors $F(x)$ et $F(x')$ sont indépendants.
 - ▷ si parmi d entrées, l'une est partout différente de toutes les autres, sa sortie est indépendante.
 - un attaquant d'ordre d n'est pas meilleur qu'un attaquant d'ordre $d - 1$.
- ▶ Si on peut borner la probabilité d'être différent, on peut borner l'avantage du meilleur attaquant d'ordre d .

Construction proposée

- ▶ F_{KFC} : alternance de F et de diffusion linéaire L
 - ▷ pour la diffusion on prend directement un code MDS.

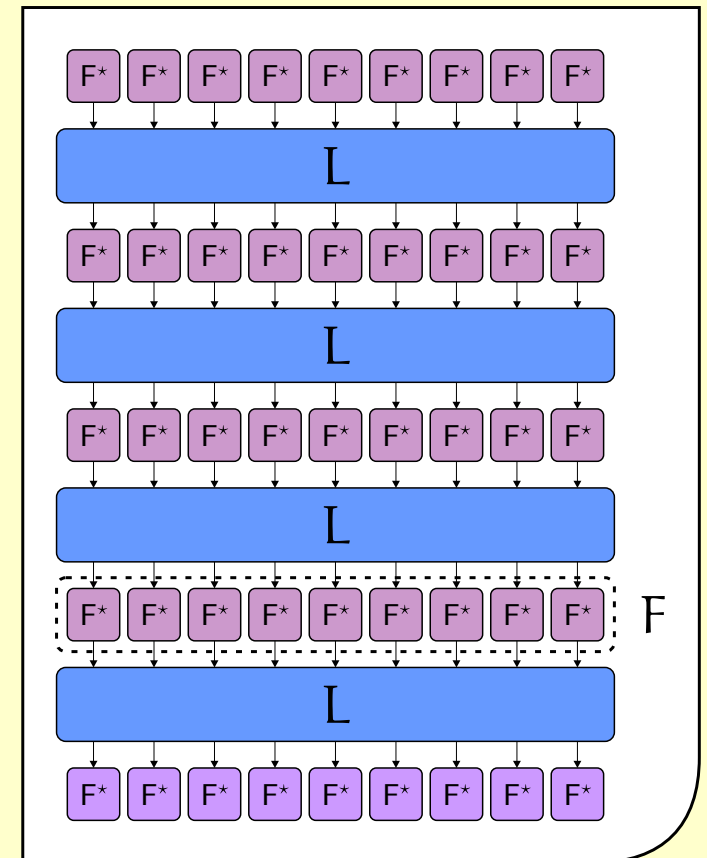
- ▶ On sait calculer $[F_{\text{KFC}}]^2$
 - ▷ calcul de matrices 17×17 .

- ▶ Ça ne marche pas bien :

- ▷ $\| [F_{\text{KFC}}]^2 - [F^*]^2 \|_{\infty} \approx \frac{1}{q}$

- ▶ Il ne faut pas commencer par F

- ▷ on ajoute des couches S.



Construction proposée

- ▶ F_{KFC} : alternance de F et de diffusion linéaire L
 - ▷ pour la diffusion on prend directement un code MDS.

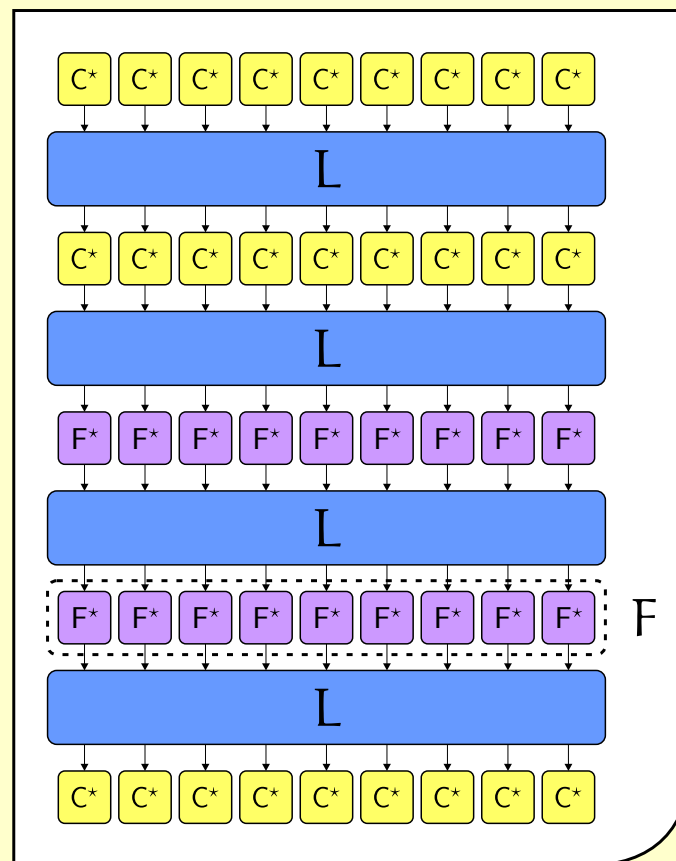
- ▶ On sait calculer $[F_{\text{KFC}}]^2$
 - ▷ calcul de matrices 17×17 .

- ▶ Ça ne marche pas bien :

- ▷ $\| [F_{\text{KFC}}]^2 - [F^*]^2 \|_{\infty} \simeq \frac{1}{q}$

- ▶ Il ne faut pas commencer par F

- ▷ on ajoute des couches S.



Résultats obtenus

Décorrélation à l'ordre 2

► On obtient après calculs :

	$N = 8$ et $q = 2^8$				$N = 8$ et $q = 2^{16}$				$N = 16$ et $q = 2^8$			
$r_2 \backslash r_1$	0	1	10	100	0	1	10	100	0	1	10	100
0	1	2^{-5}	2^{-8}	2^{-8}	1	2^{-13}	2^{-16}	2^{-16}	1	2^{-4}	2^{-8}	2^{-8}
1	2^{-5}	2^{-50}	2^{-52}	2^{-49}	2^{-13}	2^{-114}	2^{-116}	2^{-113}	2^{-4}	2^{-95}	2^{-104}	2^{-103}
2	2^{-46}	2^{-53}	2^{-52}	2^{-49}	2^{-110}	2^{-117}	2^{-116}	2^{-113}	2^{-87}	2^{-104}	2^{-104}	2^{-103}
3	2^{-62}	2^{-53}	2^{-52}	2^{-49}	2^{-128}	2^{-117}	2^{-116}	2^{-113}	2^{-120}	2^{-104}	2^{-104}	2^{-103}

- Chaque couche F fait un peu diminuer $[F_{KFC}]^2$
- ▷ la décorrélation en sortie est une borne inférieure de la décorrélation en entrée de chaque F.
 - ▷ les entrées de F sont **indépendantes deux à deux**.

On note $F_{\text{KFC}[i]}$, la fonction F_{KFC} avec i couches F .

► Soit α_i l'événement :

Une entrée de la dernière couche F de $F_{\text{KFC}[i]}$ est différentes des $d - 1$ autres sur les N coordonnées.

► On peut écrire :

$$\text{Adv}^d(F_{\text{KFC}[i]}, F^*) \leq \text{Adv}^{d-1}(F_{\text{KFC}[i]}, F^*) + \Pr(\bar{\alpha}_i).$$

► On cherche à borner $\Pr(\bar{\alpha}_i)$:

▷ on utilise l'indépendance deux à deux.

Entrée : (X_1, \dots, X_d) avec $X_i = (X_{i,1}, \dots, X_{i,N})$.

Soit $\lambda \leq d$ le nombre de X_i différents de tous les autres.

► $E(\lambda) = d \cdot \mathcal{P}_d^N$ avec $\mathcal{P}_d = \Pr(X_{1,1} \notin \{X_{2,1}, \dots, X_{d,1}\})$.

De plus :

$$\begin{aligned}\mathcal{P}_{d+1} &= \mathcal{P}_d - \Pr(X_{1,1} \notin \{X_{2,1}, \dots, X_{d,1}\}, X_{1,1} = X_{d+1,1}) \\ &\geq \mathcal{P}_d - \Pr(X_{1,1} = X_{d+1,1}) = \mathcal{P}_d - \frac{1}{q}\end{aligned}$$

► Donc : $E(\lambda) \geq d \cdot \left(1 - \frac{d-1}{q}\right)^N$.

Or $E(\lambda) = \sum_{k=1}^d \Pr(\lambda = k) \leq d \cdot \Pr(\lambda \neq 0) = d \cdot \Pr(\alpha_i)$

$$\rightarrow \Pr(\bar{\alpha}_i) \leq 1 - \frac{E(\lambda)}{d} \leq 1 - \left(1 - \frac{d-1}{q}\right)^N.$$

En empilant les couches...

- ▶ Si on regarde t couches F successives on trouve :

$$\Pr(\bar{\alpha}_1, \dots, \bar{\alpha}_t) \leq \left(1 - \left(1 - \frac{d-1}{q}\right)^N\right)^t$$

- ▶ Par récurrence on peut dire :

Pour tout d , et tout ensemble d'entiers $\{t_3, \dots, t_d\}$ tels que $\sum_{i=3}^d t_i \leq r$, si $\| [F_{\text{KFC}[r]}]^2 - [F^*]^2 \|_{\infty} \leq \varepsilon$ on a :

$$\text{Adv}^d(F_{\text{KFC}[r]}, F^*) \leq \varepsilon + \sum_{i=3}^d \left(1 - \left(1 - \frac{d-1}{q}\right)^N\right)^{t_i}$$

On obtient, en choisissant bien les t_i :

		$N = 8$ et $q = 2^8$						$N = 8$ et $q = 2^{16}$							
$r \backslash d$		2	3	4	8	16	32	64	2	3	4	8	16	32	64
10		2^{-52}	2^{-40}	2^{-17}	2^{-2}	1	1	1	2^{-116}	2^{-116}	2^{-57}	2^{-11}	1	1	1
100		2^{-49}	2^{-49}	2^{-49}	2^{-46}	2^{-11}	1	1	2^{-113}	2^{-113}	2^{-113}	2^{-113}	2^{-66}	2^{-23}	2^{-5}
250		2^{-48}	2^{-48}	2^{-48}	2^{-48}	2^{-33}	2^{-5}	1	2^{-112}	2^{-112}	2^{-112}	2^{-112}	2^{-112}	2^{-69}	2^{-25}
1000		2^{-46}	2^{-46}	2^{-46}	2^{-46}	2^{-46}	2^{-35}	2^{-2}	2^{-110}	2^{-110}	2^{-110}	2^{-110}	2^{-110}	2^{-110}	2^{-110}

		$N = 16$ et $q = 2^8$						
$r \backslash d$		2	3	4	8	16	32	64
10		2^{-104}	2^{-31}	2^{-12}	1	1	1	1
100		2^{-103}	2^{-103}	2^{-103}	2^{-31}	2^{-5}	1	1
250		2^{-103}	2^{-103}	2^{-103}	2^{-81}	2^{-18}	1	1
1000		2^{-102}	2^{-102}	2^{-102}	2^{-102}	2^{-82}	2^{-12}	1

- ▶ Avec $N = 8$, $q = 2^{16}$ et $r = 1000$ on prouve la résistance aux attaques d'ordre 70.

- ▶ Il suffit d'utiliser F_{KFC} dans un Feistel :
 - ▷ on obtient un chiffrement par blocs,
 - ▷ conserve les propriétés de décorrélation.
- ▶ On reprends BBS pour générer la clef.

- ▶ La borne est très large :
 - ▷ on résiste sûrement à des attaques d'ordre plus grand,
 - ▷ on peut l'améliorer en regardant $\Pr(\lambda) \leq i$.

Conclusion

- ◇ La théorie de la décorrélation permet de prouver des résultats forts.
- ◇ On peut l'utiliser sans modules de décorrélation.
- ◇ Les constructions sont utilisables en pratique :
 - ▷ le chiffrement rapide, mais le temps de génération de clef est un peu long,
 - ▷ on peut remplacer les F^* ou C^* par des boîtes décorrélées à l'ordre d (2 pour C) et cela suffit,
 - ▷ il faut remplacer BBS par quelque chose de léger.